

واکاوی تغییرات نیازهای درجه روز گرمایشی تحت شرایط تغییر اقلیم در استان خراسان جنوبی

دریافت مقاله: ۹۶/۱۱/۱۴ پذیرش نهایی: ۹۷/۴/۱۳

صفحات: ۱۹۹-۲۱۶

حسین ایمانی پور: دانش آموخته کارشناسی ارشد اقلیم شناسی کاربردی دانشگاه حکیم سبزواری، سبزوار، ایران.^۱

birjand.climate@yahoo.com

عبدالرضا کاشکی: استادیار گروه اقلیم شناسی دانشگاه حکیم سبزواری، سبزوار، ایران.

r.kashki@yahoo.com

مختار کرمی: استادیار گروه اقلیم شناسی دانشگاه حکیم سبزواری، سبزوار، ایران.

m.karami08@yahoo.co.uk

چکیده

نیازهای گرمایشی یکی از موضوعات مهم بشر در زمینه‌های کشاورزی، گردشگری و مدیریت مصرف انرژی در زمان حال و آینده می‌باشد. اطلاع از میزان این تغییرات می‌تواند در تصمیم‌گیری مدیران بسیار کارساز واقع شود. هدف از این مطالعه واکاوی تغییرات نیازهای درجه روز گرمایشی تحت شرایط تغییر اقلیم در استان خراسان جنوبی می‌باشد. بدین منظور داده‌های روزانه دمای کمینه و بیشینه ۱۱ ایستگاه هم‌دید استان خراسان جنوبی در بازه‌ی زمانی ۱۹۹۰-۲۰۱۵ از سازمان هواشناسی کشور دریافت شد. همچنین جدیدترین سناریوهای موجود گزارش پنجم هیات بین‌الدول تغییر اقلیم (AR5 2014) شامل سناریوهای RCP از تارنمای تغییر اقلیم کانادا با بکارگیری نرم‌افزار آماری ریزمقیاس نمایی SDSM داده‌ها برای دوره آتی (۲۰۱۶-۲۰۴۱) در منطقه مورد مطالعه ریزگردانی گردید. با استفاده از قابلیت برنامه‌نویسی نرم افزار Matlab نیازهای گرمایشی ماهانه و سالانه ایستگاه‌ها در دوره حال و آینده محاسبه شد. در نهایت با استفاده از روش درونیابی Kriging نقشه‌های پهنه‌بندی نیاز سرمایشی برای دوره حال و آینده در نرم افزار ArcGIS ترسیم گردید. با بررسی تاثیر ویژگی‌های جغرافیایی (طول و عرض جغرافیایی و ارتفاع ایستگاه‌ها) بر نیازهای گرمایشی در منطقه مشخص گردید که نقش ارتفاع بر تغییر نیازهای گرمایشی بسیار موثر بوده است. در ماه‌های سرد سال (آذر، دی و بهمن) مناطق مرتفع (قاین، ارسک، فتح آباد، آربین شهر، درمیان) به دلیل نیاز به گرمایش بیشتر میزان انرژی بالاتری را نیاز دارند. افزایش دما و گرم شدن هوا در دوره آینده، به ویژه در ماه‌های فروردین و مهر در بیشتر نقاط، نیازمند استفاده کمتر از وسایل گرمازا در آینده است.

کلیدواژگان: درجه روز گرمایشی، تغییر اقلیم، خراسان جنوبی، SDSM, HDD.

مقدمه

گرمایش جهانی و ارتباط معنی دار تغییرات دما و بارش نقاط مختلف دنیا با افزایش دمای کره زمین، به عنوان مهم ترین نمودهای تغییر اقلیم در قرن حاضر قابل توجه هستند. توجه افکار عمومی و مجامع علمی به این مساله و تمرکز گازهای گلخانه ای در چند سال گذشته باعث شده است نوعی همکاری جهانی در بررسی این معضل جهانی به وجود آید. بسیاری از معضلات محیطی از جمله سیل، طوفان، خشکسالی و نظایر آن، در ناهنجاری های دمایی کره زمین ریشه دارند. از سال ۱۹۹۰ به بعد، دمای کره زمین به طور مرتب افزایش یافته است (IPCC, ۲۰۱۰)^۱. یکی از اثرات بارز گرمایش جهانی تغییر در میزان نیاز گرمایش و سرمایش محیط ناشی از تغییرات روزانه دما می باشد در طول ماه های گرم سال مصرف بالای انرژی جهت سرمایش محیط و ماه های سرد سال مصرف بالای انرژی جهت گرمایش محیط یکی از معضلات بسیاری از کشورهاست (اوکتای^۲ و همکاران، ۲۰۱۱: ۴۸۵۵). درجه روز تفاضل میان دمای روزانه هوا با دمای آستانه انتخابی است، اگر جواب این تفاضل مثبت باشد نیاز به سرد کردن محیط و اگر جواب به دست آمده از این تفاضل منفی باشد نیاز به گرم کردن محیط وجود دارد. دما به ویژه درجه روز یکی از پارامترهای اثر گذار در زندگی انسان می باشد. تام^۳ اولین کسی بود که برای داشتن مجموعه داده درجه روز گرمایشی تلاش کرد. در سال ۱۹۸۱ هیتچن^۴ در تحقیقی با ارائه روش ها و نمودار درجه روز فصلی در ایالات متحده آمریکا را تجزیه و تحلیل کرد. عده ای نیز نیازهای سرمایشی و گرمایشی را صرفا به منزله عاملی اقلیمی مطالعه کرده اند: از جمله ساید^۵ (۱۹۹۲)، دیاز و کواپله^۶ (۱۹۹۴)، کراولی^۷ (۱۹۹۴)، سوله و سوکلینگ^۸ (۱۹۹۵)، ویبینگ^۹ (۲۰۰۲). شناخت تغییرات مکانی- زمانی این فرا سنج (نیاز درجه-روز سرمایش و گرمایش) در دهه های آینده از طریق مدل های گردش عمومی هوا امری ضروری است. آنچه مسلم است محاسبه درجه-روز گرمایشی و سرمایشی در ایران، به دلیل تفاوت های دمایی ناشی از قرارگیری در عرض های جغرافیایی متفاوت و همچنین تنوع توپوگرافی و آب و هوایی، از منظر مصرف انرژی برای گرمایش و سرمایش، معماری ساختمان ها، فعالیت های کشاورزی در مراحل مختلف رشد گیاه، برآورد سرمازدگی و گرمزدگی، برآورد ذوب برف در نواحی کوهستانی، گردشگری، و موارد دیگر کاربرد دارد. از این رو مطالعات مختلفی در پهنه سرزمین ایران انجام گرفته، اما تاکنون مطالعه ای دقیقی در استان خراسان جنوبی به منظور مشخص کردن میزان انرژی مورد نیاز (گرمایش و سرمایش) صورت نپذیرفته است. لذا نظر به ضرورت توجه به نیاز استان و کمک به مدیران در امر تصمیم گیری و تعیین میزان نیاز به گرمایش در آینده، هدف این پژوهش، واکاوی و کنکاش پیرامون تغییرات نیازهای درجه روز گرمایشی تحت شرایط تغییر اقلیم در استان خراسان جنوبی می باشد.

۱ - Intergovernmental Panel on Climate Change

۲ - Octa

۳ - Tom

۴ - Hitchen

۵ - Said

۶ - Diaz & Qualye

۷ - Crawley

۸ - Sole & Sukling

۹ - Wibing

سابقه تاریخی در جهان: کدی اغلو و سایلان^۱ (۱۹۹۹) به بررسی روند فصلی و سالانه درجه‌ی روز رشد در ترکیه پرداختند، آنها با استفاده از آزمون ناپارامتری من‌کندال و رگرسیون خطی، روند درجه روز رشد در ترکیه را بررسی کردند. بنسال^۲ و همکاران (۲۰۰۱) روند نیازهای گرمایشی در کانادا را با استفاده از داده‌های دمای کمینه و بیشینه، طی دوره‌ی آماری ۱۹۰۰-۱۹۸۸ بررسی کردند، نتایج نشان داد که نیازهای گرمایشی در جنوب کانادا در حال افزایش است. لی و فانگ^۳ (۲۰۰۷)، به بررسی گرمایش جهانی و اثرات آن بر میزان انرژی مصرفی گرمایش، با استفاده از میانگین دمای روزانه و ماهانه ۵۹۰ ایستگاه هواشناسی در سرتاسر چین، در طی دوره آماری ۲۰ ساله (۱۹۸۰-۲۰۰۴) پرداختند. نتایج نشان داد میزان انرژی سوخت ذخیره شده و میزان کمتر مصرف برای فصول سرد سال ناشی از تغییرات اقلیم جهانی است. آرتمان و همکاران^۴ (۲۰۰۸) به بررسی روند گرمایش جهانی و اثر آن بر مصرف انرژی مورد نیاز، برای سرمایه‌گذاری در طول شب در ۸ منطقه اروپا پرداختند. نتایج حاکی از روند افزایشی مثبت سرمایه‌گذاری در مرکز و شرق اروپا، حداقل در دهه‌های آتی می‌باشد. برای مرکز و شمال اروپا نیز روند کاهشی نیاز به سرمایه‌گذاری در فصل تابستان، بین ماه‌های ژوئن تا اوت به میزان ۲۰٪ تا ۵۰٪ تخمین زده شد. رحمان و همکاران (۲۰۱۰) درجه روز گرمایشی و سرمایه‌گذاری ماهانه و سالانه‌ی مورد نیاز صنایع را در پنج شهر ساحلی عربستان محاسبه کردند که نتایج نشان از افزایش میزان گرمایش از ماه ژانویه تا مارس داشته است. درجه روز گرمایشی و سرمایه‌گذاری سالانه نیز روند کاهشی داشته است. درجه روز گرمایشی سالانه با کاهش عرض جغرافیایی و نزدیک شدن به دریا کاهش می‌یابد. کوکس^۵ و همکاران (۲۰۱۵) اثر گرمایش جهانی بر تغییرات انرژی در نواحی مدیترانه را با استفاده از مدل گردش عمومی هوا شبیه‌سازی کردند. بدین منظور داده‌های میانگین دمای روزانه هوا توسط مدل PRECIS طی دوره‌ی آماری ۱۹۵۰-۲۰۹۹ تحت سناریو A1B در ابعاد ۲۵*۲۵ کیلومتر بر روی حوضه مدیترانه شبیه‌سازی شد و نتایج نشان داد که میانگین روزانه دما در طی دوره ۲۰۴۰-۲۰۰۱ روند افزایشی به میزان ۱ تا ۲ درجه سانتیگراد را نشان می‌دهد که بر روی انرژی مصرفی جهت خنک کردن اماکن اثر قابل توجهی دارد. همچنین در دهه ۲۰۵۰-۲۰۹۹ روند دما افزایش چشمگیری نسبت به دهه ۲۰۴۰-۲۰۰۱ نشان می‌داد. الیزباراشویلی^۶ و همکاران (۲۰۱۸)، در پژوهشی تغییرات و روند درجه روزهای سرمایه‌گذاری و گرمایشی در گرجستان را مورد بررسی قرار دادند. آنان در این پژوهش نیازهای درجه روز گرمایشی و سرمایه‌گذاری را در ۱۴ ایستگاه گرجستان مشخص نمودند.

۱. Kadioglu & Saylan

۲. Bonsal

۳. Li & Fang

۴. Artmann

۵. Cox

۶. Elizbarashvili

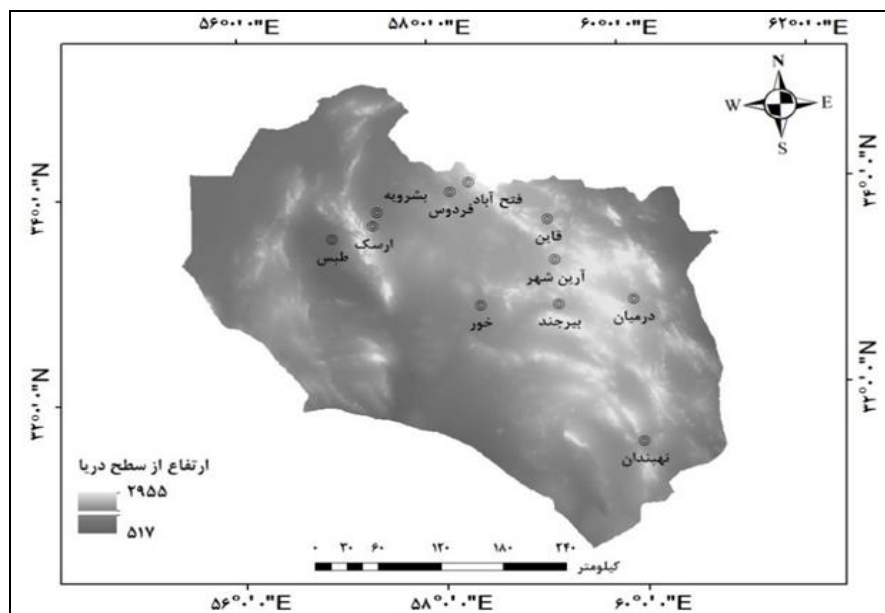
سابقه تاریخی در ایران: خلیلی (۱۳۷۹)، در مطالعه‌ای به تدوین ساختار یک سامانه‌ی پهنه‌بندی اقلیمی از نظر نیاز به گرمایش و سرمایش محیط و اعمال آن بر گستره‌ی ایران پرداخت. خلیلی (۱۳۸۳)، نیازهای گرمایشی (HDD) و سرمایشی (CDD^۲) ایران را در روزهای مختلف سال، بر مبنای میانگین ماهانه دمای ۲۱۸ ایستگاه هواشناسی کشور پهنه‌بندی نمود. براساس آستانه‌های در نظر گرفته شده، برای درجه روزهای گرمایشی، هفت گروه اقلیمی و برای درجه‌روزهای سرمایشی، پنج گروه اقلیمی و چهار گروه رطوبتی تشخیص داد. ذوالفقاری و همکاران (۱۳۸۸) با تحلیل نیازهای سرمایشی و گرمایشی در شمال غرب ایران به بررسی تاثیر عوامل مستقل بر نیازهای سرمایشی و گرمایشی در شمال غرب ایران پرداختند و به این نتیجه دست یافتند که دریای خزر بر پهنه باریکه ساحلی این پهنه آبی تاثیری ندارد؛ ولی دو متغیر عرض جغرافیایی و ارتفاع بر نیازهای گرمایشی و سرمایشی موثرند. نتیجه پهنه‌بندی، وجود ۱۱ طبقه متفاوت اقلیمی را نشان می‌داد. رضانی و کاظم نژاد (۱۳۹۳) با استفاده از آستانه دمایی مشخص به واکاوی مکانی-زمانی بیلان انرژی مورد نیاز سرمایش و گرمایش پرداختند. نتایج حاصل از واکاوی و بررسی نقشه‌های میانگین سالانه مجموع درجه‌روزهای گرمایش و سرمایش در سطح منطقه، بیانگر بخش‌بندی گیلان به دو پهنه کلان اقلیمی هموار و ناهموار است. انتظاری و همکاران (۱۳۹۶) در پژوهشی با عنوان تحلیلی بر شرایط زیست اقلیمی و درجه روزهای نیاز گرمایشی و سرمایشی شهر اسلام‌آباد غرب، با استفاده از داده‌های دمای روزانه و روش درجه روزهای فعال، نیازهای گرمایشی و سرمایشی شهر اسلام‌آباد غرب را در آستانه‌های دمایی مختلف مشخص نمودند، نتایج آنان نشان داد که، ماه‌های فروردین، اردیبهشت، مهر و آبان دارای بیوکلیمای آسایشی و ماه‌های آذر، دی، بهمن و اسفند به دلیل تنش سرما و ماه‌های خرداد، تیر، مرداد و شهریور نیز به علت تنش گرما خارج از محدوده آسایش هستند.

روش تحقیق

استان خراسان جنوبی در شرق ایران و در مرز مشترک با افغانستان قرار گرفته است. استان‌های خراسان رضوی، اصفهان، سیستان و بلوچستان، سمنان، یزد و کرمان در جوار این استان قرار گرفته‌اند. این استان با مساحتی بیش از ۱۵۰۷۹۷ کیلومتر مربع در یک اقلیم خشک واقع شده است. تراکم و تمرکز مناطق روستایی استان خراسان جنوبی بیشتر در مناطق کوهستانی و مرکز استان واقع شده است. متوسط مجموع بارندگی سالانه استان ۱۵۲ میلی‌متر، متوسط دمای کمینه و بیشینه به ترتیب برابر ۷ و ۲۶ درجه سانتی‌گراد می‌باشد. برای بررسی میزان تغییرات درجه‌روز سرمایشی، داده‌های روزانه دمای کمینه و بیشینه ۱۱ ایستگاه همدید استان خراسان جنوبی در بازه زمانی ۲۰۱۵ - ۱۹۹۰ از اداره کل هواشناسی استان خراسان جنوبی اخذ شد. ملاک انتخاب بازه زمانی ۲۶ ساله، موجود بودن آمار و پیوستگی داده‌های آماری بوده است. شکل (۱) موقعیت جغرافیایی ایستگاه‌های همدید منطقه مورد مطالعه را نشان می‌دهد.

۷ - Heating Degree Days

۸ - Cooling degree Days



شکل (۱). موقعیت ایستگاه های همدید استان خراسان جنوبی

در این پژوهش برای واکاوی زمانی مکانی نیازهای درجه روز گرمایشی از آستانه دمای متوسط روزانه ۱۸ درجه سانتیگراد استفاده گردیده است. درجه روز گرمایشی یعنی روزهایی که دمای هوا کمتر از دمای آستانه ۱۸ بوده و انسان جهت برقرار آسایش نیاز به گرم کردن محیط دارد. مقادیر نیاز به گرم کردن محیط در دوره ی سرد سال جمع تفاضل های میانگین روزانه ی دما از یک آستانه معین در دوره مشخصی از سال است که بر مبنای درجه روز بیان می شود. برای دست یابی به اهداف تحقیق داده های مقادیر روزانه دمای کمینه و بیشینه یازده ایستگاه سینوپتیک استان خراسان جنوبی بین سال های ۱۹۹۰ - ۲۰۱۵ از اداره هواشناسی استان خراسان جنوبی اخذ شد و داده های 26, 45, 85, RCP^۲, canESM^۲, NCEP^۱ برای هر ایستگاه به طور جداگانه از سایت تغییر اقلیم کانادا دانلود شد. سپس با استفاده از نرم افزار SDSM^۴ بهترین متغیر پیش بینی کننده انتخاب و داده های دوره آینده برای سه سناریو ذکر شده تولید شد و در نرم افزار متلب^۵ جمع میانگین تعداد درجه روز های گرمایش ماهانه و سالانه ایستگاه های سینوپتیک استان خراسان جنوبی برای دوره حال و آینده از طریق آستانه دمایی ۱۸ درجه محاسبه شد. میزان نیاز به گرمایش در دوره معین N روز، به درجه-روز گرمایش یا HDD معروف است که از رابطه (۱) محاسبه شده است.

$$HDD = \sum_{k=1}^n (T_{base} - T_{mean}) \quad \text{رابطه (۱)}$$

- ۱ - National Centers for Environmental Prediction
 ۲ - Canadian earth system model
 ۳ - Revolutionary Communist Party
 ۴ - Statistical Down Scaling Model
 ۵ - Matlab

T mean میانگین دمای روزانه هوا می باشد که به صورت $T_{mean} = (T_{MAXI} - T_{MINI}) / 2$ تعریف می شود. Tbase دمای آستانه که در اینجا ۱۸ درجه می باشد. در پایین تر از دمای آستانه، احساس سرما پی می آید که برای دستیابی به شرایط آسایش محیطی بایستی محیط تا حد معینی گرم شود (مسعودیان و همکاران، ۱۳۹۳). آستانه های دمایی منتخب برای محاسبه به این فراسنج بستگی به اهداف مطالعه دارد. در بیشتر مطالعات انجام گرفته شده توسط محققان از آستانه دمایی متفاوت طبق اهداف پژوهش برای محاسبه درجه-روز استفاده شده است. جدول (۱).

جدول (۱). اسامی محققین و علل انتخاب آستانه های دمایی بکار برده شده برای محاسبه روند درجه-روز

اسامی محققان	آستانه های دما	کاربرد و علل انتخاب
کدی و اغلو (۱۹۹۹)	۱۵ و ۲۴ درجه	آستانه دمایی ۲۴ درجه به عنوان دمای بیشینه و دمای ۱۵ درجه میانگین دمای کشور ترکیه، محاسبه انرژی مصرفی
دکتر خلیلی (۱۳۷۹)	۱۸ درجه	میانگین دمای کشور
بلدیز و سوسا اغلو (۲۰۰۷)	۲۴، ۱۸، ۲۰ درجه	محاسبه انرژی مورد نیاز صنایع
ماتزراکس ^۲ و همکاران (۲۰۰۴)	۱۴ درجه	به عنوان میانگین دمای یونان
جیانگ ^۳ و همکاران (۲۰۱۰)	۱۸ تا ۲۴ درجه	دمای ۱۸ درجه به عنوان آسایش انسان و دمای ۲۴ درجه به عنوان دمای بیشینه کشور چین
تیلور ^۴	۱۸ درجه	آستانه دمای برای آسایش انسان

ماخذ: (مسعودیان و همکاران)

از آنجایی که ضریب همبستگی نشان دهنده ارتباط دو متغیر است اما زمانی که به دنبال اثر یک متغیر بر متغیر دیگر هستیم نمی توان از آن استفاده کرد. از طرفی گاهی تخمین تغییر در یک متغیر با تغییر متغیر دیگر برای ما مهم است که بازهم ضریب همبستگی نمی تواند تخمینی از این تغییرات ارائه دهد. به همین دلیل از مدل رگرسیون گام به گام در این پژوهش نیز استفاده شده است. در این مدل آماری فرض بر این است که رابطه بین متغیرهای مستقل (ارتفاع، طول جغرافیایی، و عرض جغرافیایی) و متغیرهای وابسته (میزان نیاز درجه-روز میانگین ماهانه CDD) در رابطه (۲) آمده است.

$$y = b_0 + b_1(x_1) + b_2(x_2) + \dots + b_p(x_p) \quad \text{رابطه (۲)}$$

که در رابطه (۲) پارامترهای b_1, b_2, \dots, b_p ضرایب رگرسیون جزئی و b_0 مقدار عرض از مبدا است که مقدار ثابت رگرسیون نیز نامیده می شود (وجدانی، ۱۳۸۸). در این پژوهش به منظور شناسایی و پیش بینی نوسانات نیاز درجه روز گرمایش استان خراسان جنوبی از یک مدل مولد داده های هواشناسی به نام SDSM که یک روش ریزمقیاس نمایی آماری می باشد استفاده شد. سپس جهت محاسبه تغییرات درجه روز گرمایشی در آینده، داده

۱ - Bldyz - Sosa Aghlv

۲ - Matzrakys

۳ - Jiang

۴ - Taylor

های جدیدترین سناریوهای موجود تغییر اقلیم، در گزارش ارزیابی پنجم (AR5) هیات بین الدول تغییر اقلیم (IPCC) شامل سناریوهای RCP_2/5, RCP_4.5, RCP_8.5 پس از محاسبه فاصله نزدیکترین یاخته تا هر ایستگاه از تارنمای تغییر اقلیم کانادا با رگیری شدند. سپس با استفاده از مدل ریزمقیاس‌نمایی آماری (SDSM) ریزگردانی داده‌ها برای دوره آینده به صورت روزانه در بازه زمانی ۲۶ ساله (۲۰۴۱-۲۰۱۶) برای سه سناریو مذکور تولید شد.

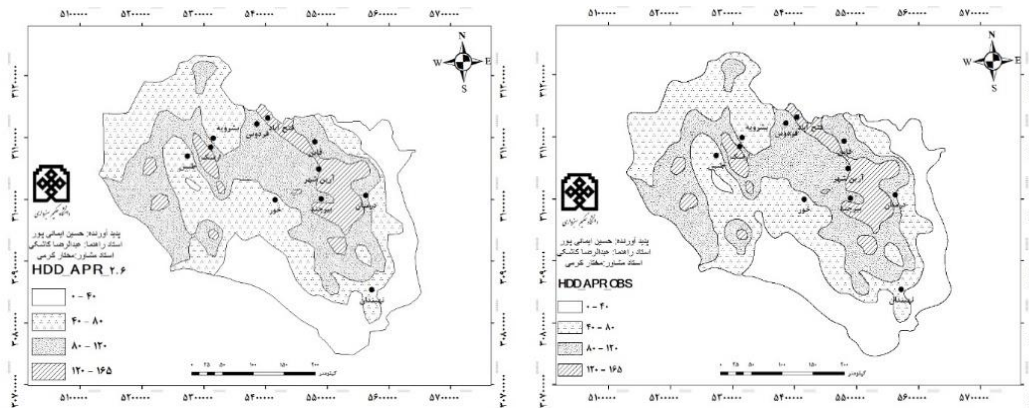
هیات بین الدول تغییر اقلیم در تدوین گزارش ارزیابی پنجم (AR5) از سناریوهای جدید RCP به‌عنوان نماینده‌های خطوط سیر غلظت‌های گوناگون گازهای گلخانه‌ای استفاده کرده است. سناریوی جدید انتشار دارای چهار خط سیر کلیدی می‌باشد که در این پژوهش از سه سناریوهای (2.6، 4.5 و 8.5) RCP استفاده شده است. که بر اساس میزان واداشت تابشی آنها در سال ۲۱۰۰ نام‌گذاری شده‌اند. سناریوی RCP_8.5 بدون اتخاذ هیچ گونه سیاست‌های کاهش آثار و مقابله با پیامدهای اقلیم، آب و هوای کره زمین در خط سیر سناریوی انتشار RCP_8.5 پیش خواهد رفت. به طوری که ادامه این روند منجر به واداشت تابشی به میزان ۸/۵ وات بر متر مربع در سال ۲۱۰۰ می‌گردد. در این هنگام غلظت دی اکسید کربن به ۱۰۰۰ قسمت در میلیون رسیده و همچنان روند افزایش خواهد داشت. این سناریو توسط گروه مدل سازی MESSAGE و موسسه IIASA به سرپرستی پروفیسور کیوان ریاحی در موسسه بین‌المللی تحلیل سیستم‌های کاربردی IIASA اتریش توسعه و طراحی شد که وجه مشخصه آن روند افزایش گازهای گلخانه‌ای است. سناریوی RCP_4.5 توسط گروه مدل سازی MiniCAM طراحی شده است و در آن واداشت تابشی ناشی از گازهای گلخانه‌ای قبل از سال ۲۱۰۰ در مقدار ۴/۵ وات بر مترمربع ثابت می‌ماند. سناریوی RCP_2.6: این سناریو توسط تیم مدل سازی IMAGE از موسسه ارزیابی‌های محیطی هلند طراحی شده است. این سناریو در برگیرنده کمترین نرخ افزایش گازهای گلخانه‌ای و واداشت تابشی ناشی از آن است. مطابق این سناریو واداشت تابشی در اواسط این قرن به حدود ۳/۱ رسیده و سپس کاهش یافته و به ۲/۶ وات بر مترمربع در سال ۲۱۰۰ خواهد رسید. برای رسیدن به این سطح واداشت تابشی بایستی گازهای گلخانه‌ای به میزان قابل توجهی کاهش یابد (بابائیان، ۱۳۹۱). جهت رعایت اختصار از آوردن جزئیات مدل‌ها صرف نظر گردید.

نتایج

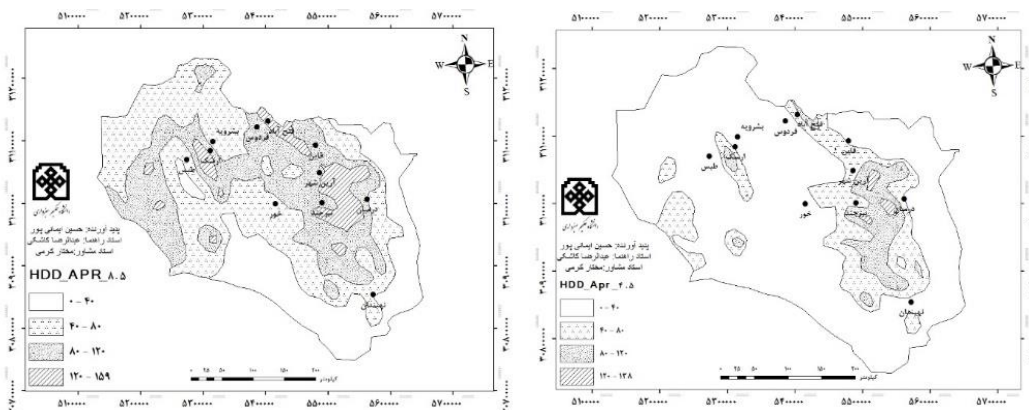
با بررسی رابطه بین نیاز درجه روز گرمایشی و ویژگی‌های جغرافیایی (ارتفاع، طول جغرافیایی و عرض جغرافیایی) ایستگاه‌های مورد مطالعه، مشخص گردید که ارتفاع بیشترین نقش را در تغییرات نیازهای گرمایشی ایفا می‌نماید. بدین گونه که تغییرات نیازهای گرمایشی از الگوی توپوگرافی تبعیت می‌نماید کمترین نیاز گرمایشی در مناطق پست و کم ارتفاع غربی و جنوبی منطقه و بیش‌ترین نیاز گرمایشی در ارتفاعات و ستیغ کوهها وجود دارد. ارتفاع با تغییرات نیازهای گرمایشی در استان خراسان جنوبی رابطه مستقیم دارد، با افزایش ارتفاع، دما کاهش می‌یابد بنابراین نیازهای گرمایشی نیز افزایش می‌یابد. به علت گستره کم منطقه در امتداد عرض جغرافیایی رابطه آن با درجه‌روز گرمایشی بسیار اندک می‌باشد. طول جغرافیایی نیز رابطه معنی داری را با نیازهای گرمایشی نشان نمی‌دهد. احساس نیاز به گرم کردن محیط (گرمایش) در دوره سرد سال

ماه های مهر تا فروردین) در استان خراسان جنوبی وجود دارد. نقشه های پهنه بندی نیازهای گرمایشی برای دوره پایه (۱۹۹۰-۲۰۱۵) و همچنین برای دوره آینده (۲۰۱۶-۲۰۴۱) با سه سناریوی واداشت تابشی RCP_2.6, RCP_4.5, RCP_8.5 به صورت ماهانه و سالانه در محیط نرم افزار ArcGIS با استفاده از روش کریجینگ ترسیم شده است.

نیاز سرمایشی ماه فروردین: نتایج اشکال (۲) الی (۵) و جدول (۲) نشان می دهد، در ماه فروردین نیاز درجه روز گرمایش به کمترین میزان خود می رسد و تنها در نقاط پر ارتفاع شامل شرق، شمال شرق و ارتفاعات غربی استان مشاهده می شود. در این ماه نیاز درجه روز گرمایش از ۰ تا ۱۶۵ درجه روز متغیر می باشد و پس از این ماه در استان نیاز به گرمایش از بین می رود به همین دلیل از رسم نقشه ماه آینده صرف نظر گردید.



شکل (۲). پراکنش مکانی نیازهای سرمایشی ماه فروردین در دوره مشاهده ای (۱۹۹۰-۲۰۱۵) و شکل (۳). پراکنش مکانی نیازهای سرمایشی ماه فروردین، دوره آینده (۲۰۱۶-۴۱)، سناریو RCP_2.6

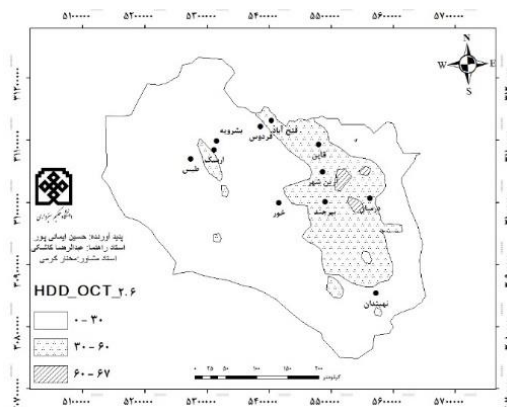


شکل (۴). پراکنش مکانی نیازهای سرمایشی ماه فروردین در دوره آینده (۲۰۱۶-۴۱) سناریو RCP_4.5 و شکل (۵). پراکنش مکانی نیازهای سرمایشی ماه فروردین، دوره آینده (۲۰۱۶-۴۱) سناریو RCP_8.5

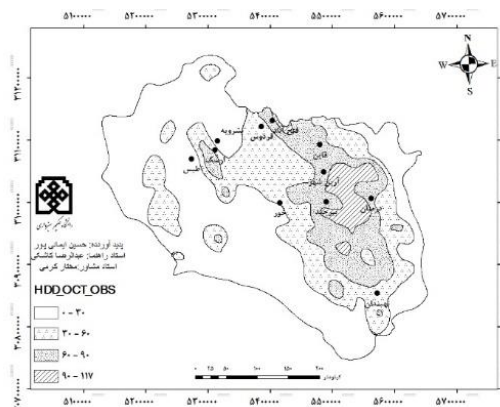
جدول (۲). مساحت پهنه های میانگین مجموع درجه روز سرمایشی فروردین (آوریل) به درصد

دامنه تغییرات	۱۲۰-۱۵۹	۸۰-۱۲۰	۴۰-۸۰	۰-۴۰	****
۰-۱۶۵	۸/۴۱	۳۲/۴۳	۳۶/۸۹	۲۲/۲۶	HDD_APR_OBS
۰-۱۶۵	۸/۸۰۷	۳۳/۳۱	۳۶/۶۷	۲۱/۲۰	HDD_APR_2.6
۰-۱۳۸	۰/۶۴	۷/۱۶	۱۶/۹۳	۷۵/۲۴	HDD_APR_4.5
۰-۱۵۹	۶/۵۵	۳۰/۰۷	۳۹/۴۳	۲۳/۹۳	HDD_APR_8.5

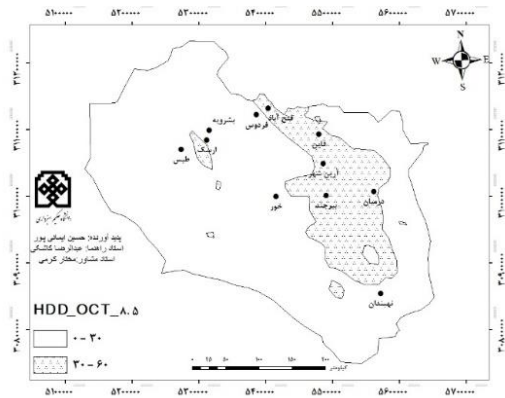
نیاز گرمایشی ماه مهر: در دوره آینده برای سناریوی حد واسط (RCP_4.5) تغییر محسوسی نسبت به دوره حال مشاهده نمی شود. ولی در سناریوهای RCP_2.6, 8.5 شاهد حرکت مرزهای پهنه ها به سمت ارتفاعات هستیم. بسیاری نقاط در این دو سناریو تحت پوشش پهنه پایین تر قرار گرفته اند به عنوان مثال ایستگاه فردوس در سناریوی RCP_2.6 در محدوده پهنه اول جای گرفته است. همچنین در سناریوی RCP_2.6 بیشترین نیاز گرمایشی برخی نقاط از ۱۱۷ درجه روز به ۶۰ درجه روز تغییر پیدا کرده است. با توجه به جدول (۳) واضح است بزرگترین پهنه نیاز گرمایشی استان در دوره مشاهداتی و سناریوی حد واسط در پهنه اول با ۵۲ درصد از مساحت سطح استان جای دارد و در سناریوهای RCP_2.6, 8.5 نیز بزرگترین پهنه نیاز گرمایشی در آینده به بیش از ۷۸ درصد از مساحت سطح استان رسیده است و از مساحت سایر پهنه های نیاز گرمایشی کاسته شده است. این نشان دهنده گرمتر شدن هوا و کاهش نیازهای گرمایشی و در نتیجه کاهش استفاده از سیستم های گرمایشی در ماه مهر در می باشد .



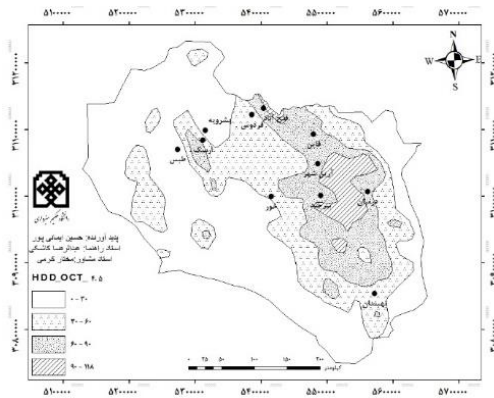
شکل (۷). پراکنش مکانی نیازهای گرمایشی ماه مهر، دوره آینده (۲۰۱۶-۴۱)، سناریو RCP_2.6



شکل (۶). پراکنش مکانی نیازهای گرمایشی ماه مهر در دوره مشاهده ای (۱۹۹۰-۲۰۱۵)



شکل (۹). پراکنش مکانی نیازهای گرمایشی ماه مهر، دوره آینده (۲۰۱۶-۴۱)، سناریو RCP_8.5

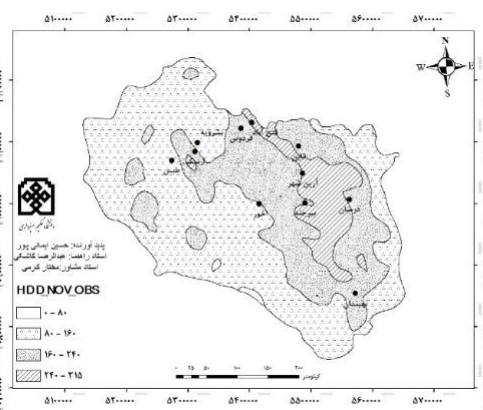
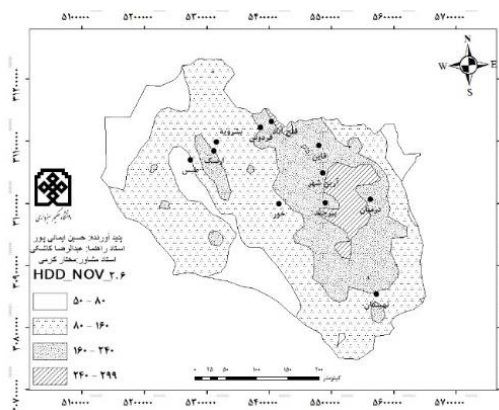


شکل (۸). پراکنش مکانی نیازهای گرمایشی مهر، دوره آینده (۲۰۱۶-۴۱) سناریو RCP_4.5

جدول (۳). مساحت پهنه های میانگین مجموع درجه روز گرمایشی ماه مهر (اکتبر) به درصد

دامنه تغییرات نیاز گرمایشی	۹۰-۱۱۸	۶۰-۹۰	۳۰-۶۰	۰-۳۰	***
۰-۱۱۷	۴/۳۶	۱۵/۳۳	۲۷/۳۴	۵۲/۹۶	HDD_OCT_OBS
۰-۶۷	۰	۰/۸۳	۲۰/۷۲	۷۸/۴۳	HDD_OCT_2.6
۰-۱۱۸	۴/۵۹	۱۵/۴۵	۲۷/۵۰	۵۲/۴۳	HDD_OCT_4.5
۰-۶۰	۰	۰	۱۸/۴۵	۸۱/۵۴	HDD_OCT_8.5

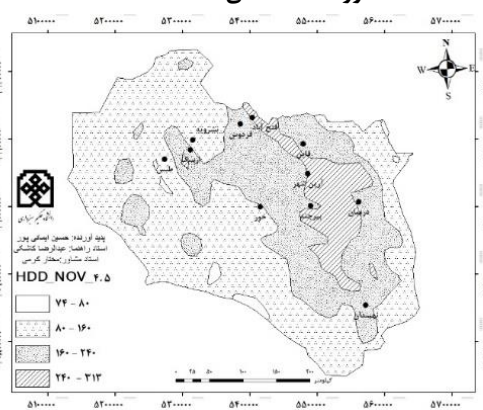
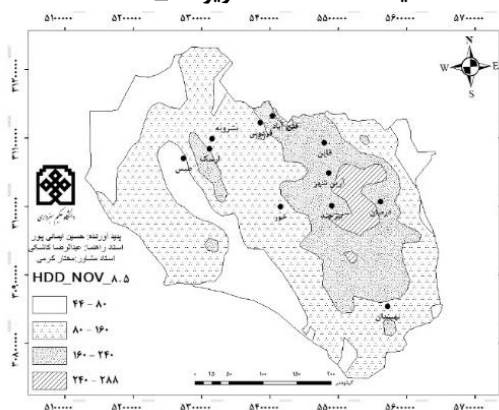
نیاز گرمایشی آبان: در این ماه برای سناریوی حد واسط (RCP_4.5) تغییر محسوسی نسبت به دوره حال مشاهده نمی شود. ولی در سناریوهای RCP_8.5 , RCP_2.6 شاهد حرکت مرزهای پهنه ها به سمت ارتفاعات هستیم. کاهش نیازهای گرمایشی در دو سناریوی RCP_8.5 , RCP_2.6 برای دوره آینده و جابجایی مرز پهنه ها و زیر پوشش قرار دادن نقاط مجاور نسبت به دوره مشاهده ای ملاحظه می شود. در دو سناریوی RCP_8.5 , RCP_2.6 حداقل نیاز گرمایشی در سطح استان ۴۴ درجه روز می باشد، در حالیکه در دوره مشاهداتی و سناریوی حد واسط حداقل نیاز گرمایشی ۷۴ درجه روز است. مناطقی که در ارتفاعات قرار دارد تا ۳۱۵ درجه روز در دوره مشاهداتی و ۲۸۸ درجه روز در دوره آینده نیاز به گرمایش دارند. در دوره پایه کمتر از ۱ درصد از سطح استان در پهنه اول قرار دارد که کمترین نیاز به گرمایش را می طلبد در حالیکه در دوره آینده بیشتر از ۲۰ درصد از سطح استان در این پهنه خواهد بود و منطبق بر مناطق پست شمال غربی و غربی میانی و جنوب منطقه است. بزرگترین پهنه نیاز گرمایشی در دوره مشاهداتی در پهنه دوم با بیش از ۵۷ درصد از مساحت سطح استان قرار دارد و در دوره آینده در دو سناریوی RCP_8.5 , RCP_2.6 سطح آن به کمتر از ۵۴ درصد خواهد رسید که کاهش معنی دار را نسبت به دوره مشاهداتی نشان می دهد. در آینده نقش ارتفاعات پراکنده در غرب استان در تعدیل گرما و نیازهای گرمایشی کم رنگ تر شده و قسمت هایی از مناطق غربی و جنوبی استان در پهنه اول قرار خواهند گرفت.



شکل (۱۰). پراکنش مکانی نیازهای گرمایشی ماه آبان در دوره مشاهده ای (۱۹۹۰-۲۰۱۵) شکل (۱۱). پراکنش مکانی نیازهای گرمایشی آبان در دوره

آینده (۲۰۱۶-۴۱) سناریو RCP_2.6

دوره مشاهده ای (۱۹۹۰-۲۰۱۵)



شکل (۱۲). پراکنش مکانی نیازهای گرمایشی ماه آبان، دوره آینده (۲۰۱۶-۴۱) سناریو RCP_4.5 شکل (۱۳). پراکنش مکانی نیازهای گرمایشی آبان، دوره

آینده (۲۰۱۶-۴۱) سناریو RCP_8.5

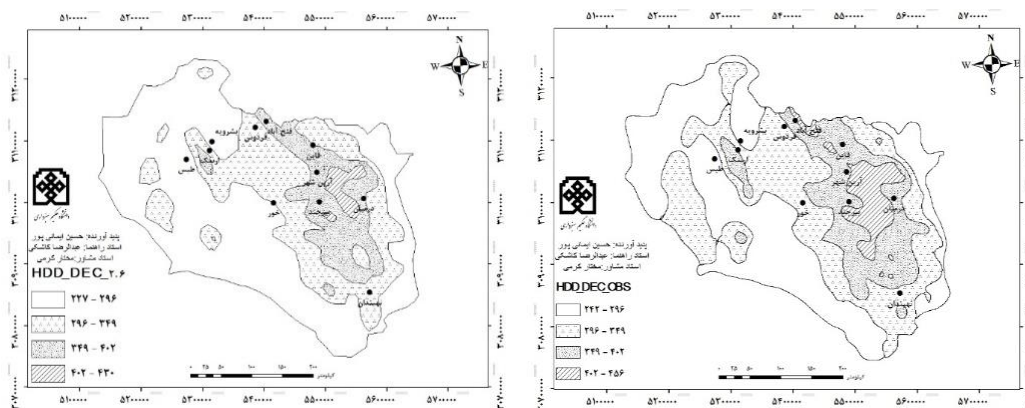
آینده (۲۰۱۶-۴۱) سناریو RCP_4.5

جدول (۴). مساحت پهنه های میانگین مجموع درجه روز گرمایشی ماه آبان (نوامبر) به درصد

دامنه تغییرات نیاز گرمایشی	۲۴۰-۲۱۵	۸۰-۲۴۰	۸۰-۱۶۰	۰-۸۰	***
۰-۳۱۵	۱۵/۷۴	۲۶/۴۸۹	۵۷/۳۹	۰/۳۷	HDD_NOV_OBS
۵۰-۲۹۹	۵/۳۵	۲۵/۰۴	۵۳/۱۴	۱۶/۴۵	HDD_NOV_2.6
۷۴-۳۱۳	۹/۱۸	۳۱/۷۷	۵۷/۹۲	۱/۱۱	HDD_NOV_4.5
۴۴-۲۸۸	۳/۷۸	۲۲/۷۵	۵۲/۵۴	۲۰/۹۱	HDD_NOV_8.5

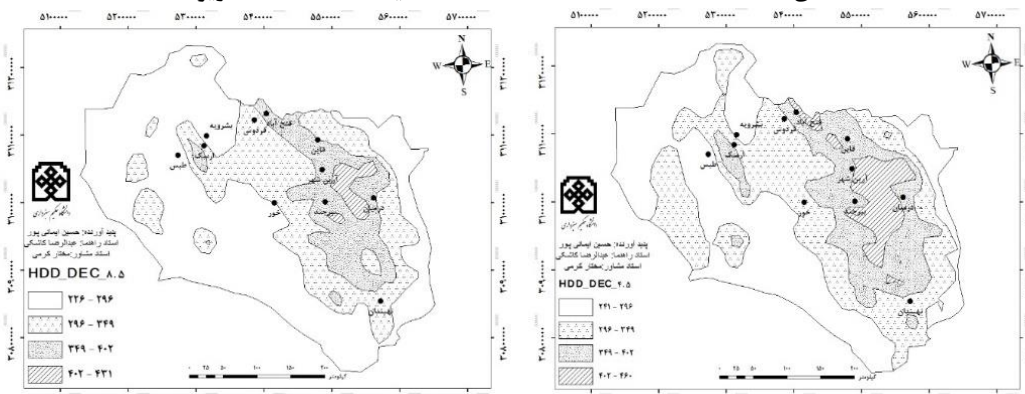
نیاز گرمایشی ماه آذر: در این ماه سناریوی حد واسط شباهت بیشتری با دوره مشاهداتی دارد. ولی در سناریوهای RCP_2.6, 8.5 شاهد حرکت مرزهای پهنه ها به سمت مناطق پست و کم ارتفاع هستیم. کاهش نیازهای گرمایشی در هر دو سناریوی RCP_2.6, 8.5 برای دوره آینده و جابجایی مرز پهنه ها و زیر پوشش

قرار دادن نقاط مجاور نسبت به دوره مشاهده ای ملاحظه می شود. در دوره مشاهداتی و سناریوی حد واسط بیشترین نیاز گرمایشی در منطقه حدود ۴۵۶ الی ۴۶۰ درجه روز می باشد و بزرگترین پهنه نیاز گرمایشی در پهنه اول با مساحت بیش از ۴۱ درصد استان واقع شده است. در دوره آینده بیشترین نیاز گرمایشی استان کاهش پیدا کرده و به ۴۳۰ درجه روز خواهد رسید. در آینده در دو سناریوی RCP_2.6, RCP_8.5 از مساحت پهنه های دوم تا چهارم کاسته شده و بر سطح پهنه اول افزوده می گردد که این افزایش در پهنه چهارم نیازهای گرمایشی محسوس تر می باشد.



شکل (۱۴). پراکنش مکانی نیازهای گرمایشی آذر در دوره مشاهده ای (۱۹۹۰-۲۰۱۵)

شکل (۱۵). پراکنش مکانی نیازهای گرمایشی آذر در دوره آینده (۲۰۱۶-۴۱) سناریو RCP_2.6



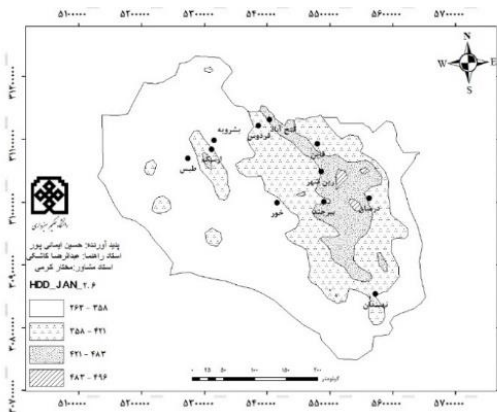
شکل (۱۶). پراکنش مکانی نیازهای گرمایشی آذر در دوره آینده (۲۰۱۶-۴۱)، سناریو RCP_4.5

شکل (۱۷). پراکنش مکانی نیازهای گرمایشی آذر در دوره آینده (۲۰۱۶-۴۱) سناریو RCP_8.5

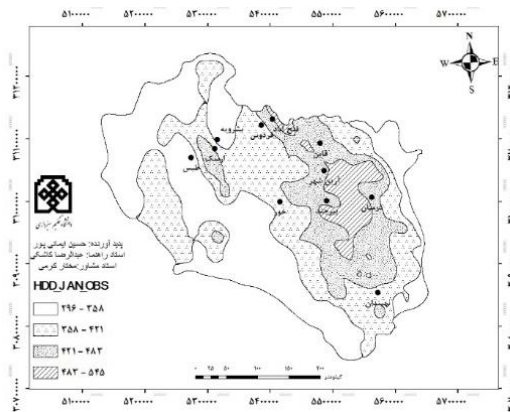
جدول (۵). مساحت پهنه های میانگین مجموع درجه روز گرمایشی ماه آذر (دسامبر) به درصد

دامنه تغییرات نیاز گرمایشی	۴۰۲-۴۶۰	۳۹۶-۴۰۲	۲۹۶-۳۴۹	۲۲۶-۲۹۶	****
۲۴۲-۴۵۶	۵/۹۹	۱۸/۱۷	۳۴/۸۳	۴۱/۰۰۱	HDD_Dec_OBS
۲۲۷-۴۳۰	۱/۹۷	۱۳/۸۲	۲۷/۷۷	۵۶/۴۲	HDD_Dec_2.6
۲۴۱-۴۶۰	۶/۶۶	۱۸/۰۲	۳۴/۰۶	۴۱/۲۳	HDD_Dec_4.5
۲۲۶-۴۳۱	۲/۰۴	۱۳/۷۷	۲۷/۴۸	۵۶/۷۵	HDD_Dec_8.5

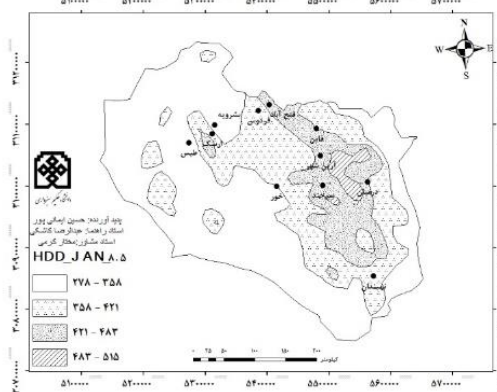
نیاز گرمایشی ماه دی: بیشترین نیاز گرمایشی در ماه دی مشاهده می شود. در دوره مشاهداتی بیشترین نیاز گرمایشی در منطقه حدود ۵۴۵ درجه روز می باشد. پهنه اول مساحت بیش از ۶۱ درصد استان را فرا گرفته است. در دوره آینده بیشترین نیاز گرمایشی استان کاهش پیدا کرده و به ۴۹۶ درجه روز در سناریوی RCP_2.6 خواهد رسید. بر خلاف سایر ماه ها در این ماه سناریوی RCP_8.5 شباهت بیشتری را با دوره مشاهداتی نشان می دهد.



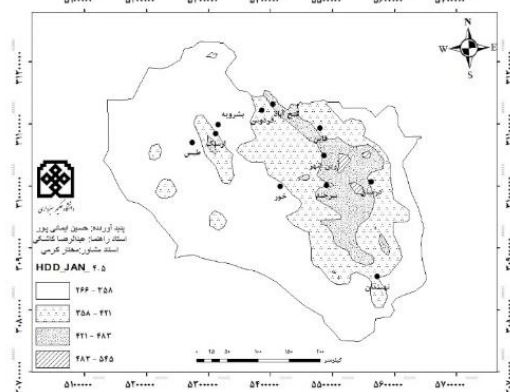
شکل (۱۹). پراکنش مکانی نیازهای گرمایشی ماه دی در دوره آینده (۲۰۱۶-۴۱)، سناریو RCP_2.6



شکل (۱۸). پراکنش مکانی نیازهای گرمایشی ماه دی در دوره مشاهده ای (۱۹۹۰-۲۰۱۵)



شکل (۲۱). پراکنش مکانی نیازهای گرمایشی ماه دی در دوره آینده (۲۰۱۶-۴۱)، سناریو RCP_8.5

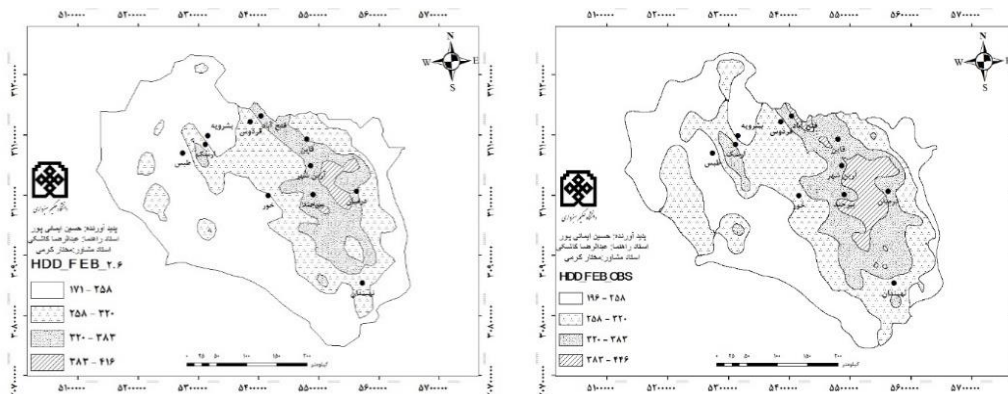


شکل (۲۰). پراکنش مکانی نیازهای گرمایشی ماه دی در دوره آینده (۲۰۱۶-۴۱)، سناریو RCP_4.5

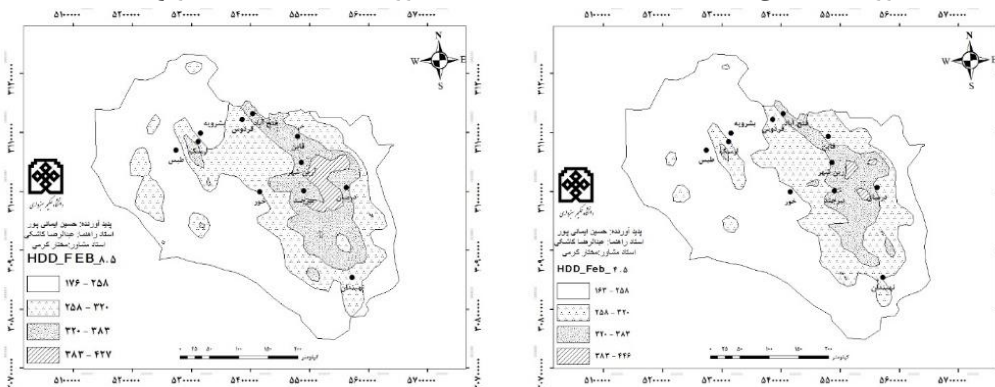
جدول (۶). مساحت پهنه های میانگین مجموع درجه روز گرمایشی ماه دی (ژانویه) به درصد

دامنه تغییرات	۴۸۳-۵۴۵	۴۲۱-۴۸۳	۳۵۸-۴۲۱	۲۶۳-۳۵۸	****
۲۹۶-۵۴۵	۱/۹۹	۹/۱۷	۲۷/۸۲	۶۱/۲۱	HDD_JAN_OBS
۲۶۳-۴۹۶	۰/۴۸	۹/۷۷	۲۴/۸۴	۶۴/۸۹	HDD_JAN_2.6
۲۶۶-۵۴۵	۰/۵۳	۱۰/۱۲	۲۵/۴۲	۶۳/۹۱	HDD_JAN_4.5
۲۷۸-۵۱۵	۱/۸۹	۱۳/۷۱	۲۸/۳۱	۵۶/۰۸	HDD_JAN_8.5

نیاز گرمایشی ماه بهمن: در این ماه نیز شاهد کاهش نیازهای گرمایشی هستیم (میزان ۳۰ درجه روز در سناریوی RCP_2.6). بزرگترین پهنه نیاز گرمایشی در استان در دوره مشاهداتی و آینده در پهنه اول قرار دارد در آینده از مساحت پهنه سوم و چهارم کاسته می شود و به مساحت پهنه های اول و دوم افزوده می شود و نیمی از مساحت استان در دوره مشاهداتی و آینده در پهنه اول قرار دارد. اشکال (۲۲الی۲۵) و جدول (۷).



شکل (۲۲). پراکنش مکانی نیازهای گرمایشی ماه بهمن در دوره مشاهده ای (۱۹۹۰-۲۰۱۵) و شکل (۲۳). پراکنش مکانی نیازهای گرمایشی ماه بهمن در دوره آینده (۲۰۱۶-۴۱)، سناریو RCP_2.6



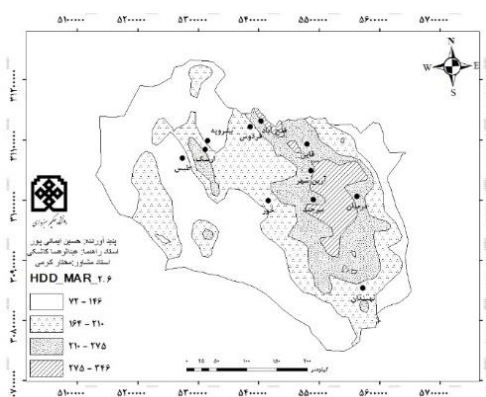
شکل (۲۴). پراکنش مکانی نیازهای گرمایشی بهمن در دوره آینده (۲۰۱۶-۴۱)، سناریو RCP_4.5 و شکل (۲۵). پراکنش مکانی نیازهای گرمایشی بهمن دوره آینده (۲۰۱۶-۴۱)، سناریو RCP_8.5

جدول (۷). مساحت پهنه های میانگین مجموع درجه روز گرمایشی ماه بهمن (فوریه) به درصد

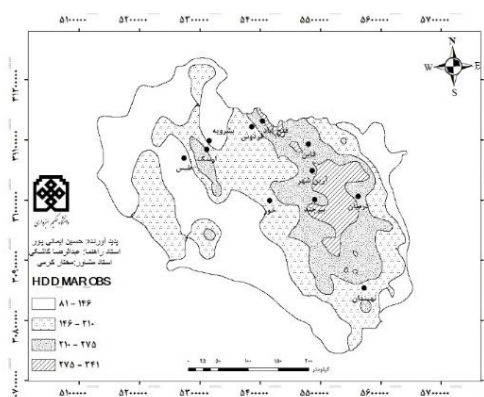
دامنه تغییرات نیاز گرمایشی	۳۸۳-۴۴۶	۳۲۰-۳۸۳	۲۵۸-۳۲۰	۱۷۱-۲۵۸	***
۱۹۶-۴۴۶	۴/۸۸	۱۶/۲۶	۲۴/۷۹	۵۵/۰۵	HDD_FEB_OBS
۱۷۱-۴۱۶	۱/۸۸	۱۳/۲۷	۲۶/۱۹	۵۸/۶۴	HDD_FEB_2.6
۱۶۳-۴۴۶	۰/۵۸	۱۰/۲۷	۲۴/۴۱	۷۴	HDD_FEB_4.5
۱۷۶-۴۲۷	۳/۰۰۷	۱۴/۷۳	۲۷/۶۴	۵۴/۶۱	HDD_FEB_8.5

نیاز سرمایشی ماه اسفند: نتایج نشان می دهد میزان نیاز درجه روز گرمایش با توجه به تغییر ارتفاع تغییر یافته است و نقاط کم ارتفاع استان دارای نیاز گرمایش کمتر می باشند. در دوره مشاهده ای بازه تغییرات درجه روز

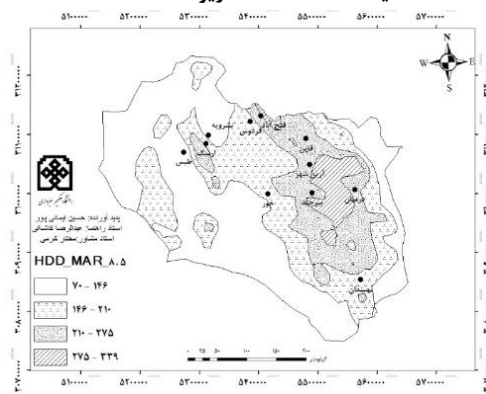
گرمایش در ماه مارس بین ۸۱ الی ۳۴۱ بوده که در دوره آینده در سه سناریو مورد بررسی قرار گرفته به ترتیب به میزان ۷۲-۳۴۶، ۶۲-۳۲۲، ۶۲-۳۳۸ کاهش خواهد یافت. همچنین در دوره آینده نیاز درجه روز گرمایش محدود به نقاط دارای ارتفاع معین می باشد. در اشکال (۴-۳۳) الی (۴-۳۶) مناطقی از استان که در آینده دارای نیاز به گرمایش بیشتری خواهند بود مشخص شده است. در جدول (۴-۹) مساحت پهنه‌ها آمده است که نشان می‌دهد در دوره آینده تنها مساحت کمی از استان ۳ الی ۵ درصد در این ماه در پهنه چهارم قرار خواهند داشت.



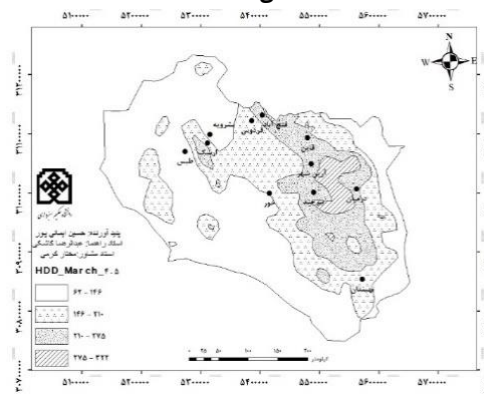
شکل (۲۷). پراکنش مکانی نیازهای گرمایشی اسفند، دوره آینده (۲۰۱۶-۴۱)، سناریو RCP_2.6



شکل (۲۶). پراکنش مکانی نیازهای گرمایشی ماه اسفند در دوره مشاهده‌ای (۱۹۹۰-۲۰۱۵)



شکل (۲۹). پراکنش مکانی نیازهای گرمایشی اسفند، دوره آینده (۲۰۱۶-۴۱) سناریو RCP_8.5

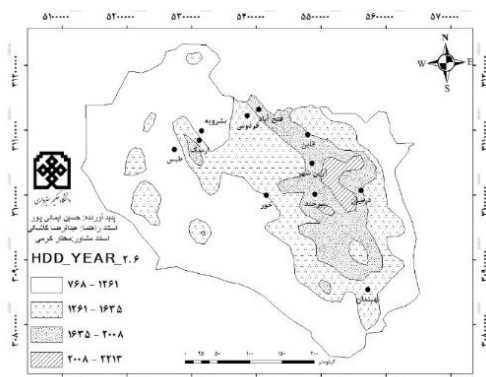


شکل (۲۸). پراکنش مکانی نیازهای گرمایشی اسفند در دوره آینده (۲۰۱۶-۴۱)، سناریو RCP_4.5

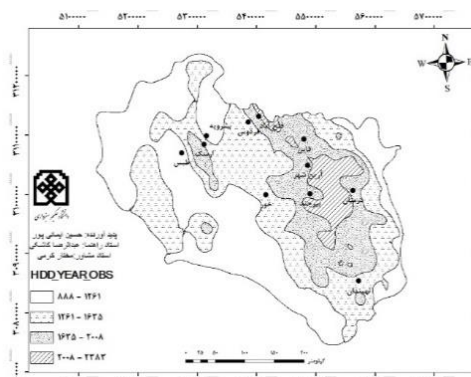
جدول (۸). مساحت پهنه‌های میانگین مجموع درجه روز گرمایشی ماه اسفند(مارس) به درصد

دامنه تغییرات نیاز گرمایشی	۲۷۵-۳۴۶	۲۱۰-۲۷۵	۱۴۶-۲۱۰	۶۲-۱۴۶	***
HDD_MAR_OBS	۵/۹۹	۱۸/۱۷	۳۴/۸۲	۴۱/۰۰۱	
HDD_MAR_2.6	۴/۴۷	۱۷/۴۱	۳۱/۳۲	۴۴/۷۹	
HDD_MAR_4.5	۳/۳۴	۱۴/۹۹	۲۷/۷۶	۵۳/۸۹	
HDD_MAR_8.5	۵/۳۳	۱۷/۰۰۶	۳۰/۲۷	۴۷/۳۸	

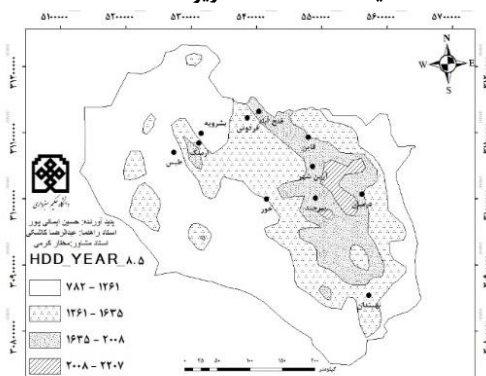
نیاز گرمایشی سالانه: نیاز گرمایشی ایستگاه های استان خراسان جنوبی به صورت سالانه نیز برای دوره حال و آینده، تهیه گردید که نتایج آن در شکل های (۳۰-۳۳) قابل مشاهده می باشد. نتایج به دست آمده حاکی از کاهش نیاز درجه روز گرمایشی در دوره آینده نسبت به دوره حال خواهد بود. از نظر مساحت بزرگترین پهنه نیاز به گرمایش سالانه در دوره مشاهداتی متعلق به پهنه اول با بیش از ۳۹ درصد سطح استان می باشد. در آینده نیز بزرگترین پهنه نیاز گرمایشی سالانه از آن پهنه اول با بیش از ۶۰ درصد سطح استان خواهد بود که این پهنه کمترین نیاز به گرمایش را در استان داراست که مناطق شمال غربی، غربی، جنوب و جنوب غربی استان خراسان جنوبی، با مساحتی بیش از نیمی از منطقه را در بر می گیرد.



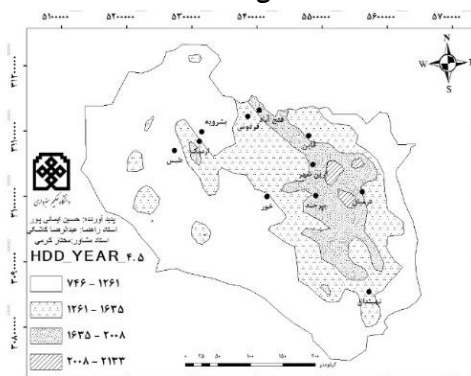
شکل (۳۱). پراکنش مکانی نیازهای گرمایشی سالانه دوره آینده (۲۰۱۶-۴۱)، سناریو RCP_2.6



شکل (۳۰). پراکنش مکانی نیازهای گرمایشی سالانه در دوره مشاهده ای (۱۹۹۰-۲۰۱۵)



شکل (۳۳). پراکنش مکانی نیازهای گرمایشی سالانه دوره آینده (۲۰۱۶-۴۱)، سناریو RCP_8.5



شکل (۳۲). پراکنش مکانی نیازهای گرمایشی سالانه دوره آینده (۲۰۱۶-۴۱) سناریو RCP_4.5

جدول (۹). مساحت پهنه های میانگین مجموع سالانه درجه روز گرمایشی استان به درصد

دامنه تغییرات نیاز گرمایشی	۲۰۰۸-۲۳۸۳	۱۶۳۵-۲۰۰۸	۱۲۶۱-۱۶۳۵	۷۴۶-۱۲۶۱	***
HDD_YEAR_OBS	۸۸۸-۲۳۸۳	۶/۴۳	۱۸/۳۹	۳۵/۴۱	۳۹/۷۴
HDD_YEAR_2.6	۷۶۸-۲۲۱۳	۲/۰۹	۱۳/۷۶	۲۷/۴۰	۵۶/۷۳
HDD_YEAR_4.5	۷۴۶-۲۱۳۳	۰/۹۸	۱۲/۰۵	۲۶/۳۲	۶۰/۶۴
HDD_YEAR_8.5	۲۲۰۷-۷۸۲	۲/۰۴	۱۳/۸۷	۲۸/۰۱	۵۶/۰۶

نتیجه گیری

در منطقه مورد مطالعه ارتفاع بیشترین نقش را در پراکندگی نیازهای گرمایشی به عهده داشته، بطوری که پراکنش نیازهای گرمایشی از الگوی ناهمواری تبعیت می‌کند. بیشترین میزان نیاز به گرمایش منطبق بر ارتفاعات و ستیغ کوهها می باشد و کمترین میزان نیازهای گرمایشی در مناطق پست و کم ارتفاع وجود دارد. با توجه به گرمایش جهانی و افزایش دما و در نتیجه تقویت سامانه کلان مقیاس پر فشار جنب حاره آزر بویژه در دوره گرم سال، نیازهای گرمایشی در آینده نسبت به حال کاهش معنی داری خواهد داشت. مرز بندی پهنه های گرمایشی در آینده دچار تغییر خواهد شد. از سطح پهنه های گرمایشی در ناحیه سوم و چهارم که بیشترین میزان نیاز گرمایش را احتیاج داشته و محدود به ارتفاعات بلند می شود، کاسته شده و بر مساحت پهنه نیاز گرمایشی ناحیه یک و دو در منطقه مورد مطالعه که کمترین نیاز گرمایش را لازم دارد، افزوده می شود. این بدان معنی است که روند دما در مناطق پست و کم ارتفاع آهنگ افزایشی ملموس تری را دارا می باشد. لازم به ذکر است که نتایج به دست آمده از این پژوهش، نتایج محققان دیگر مانند (اوکتای و همکاران، ۲۰۱۱: ۴۸۵۵)، (لی و فانگ، ۲۰۰۷)، (آرتمان و همکاران، ۲۰۰۸) مبنی بر اثر تغییرات اقلیمی در کاهش میزان مصرف سوخت برای فصول سرد سال و افزایش نیاز به سیستم های خنک کننده در فصول سرد سال در دوره آینده را تایید می کند که این امر بایستی مورد توجه برنامه ریزان و مدیران بخش انرژی قرار گیرد.

منابع

- انتظاری، علیرضا؛ احمدی، حمزه؛ کرمی، مختار؛ احمدی، طالب، (۱۳۹۶)، *تحلیلی بر شرایط زیست اقلیمی و درجه روزهای نیاز گرمایشی و سرمایشی شهر اسلام آباد غرب*. نشریه جغرافیا و برنامه ریزی. ۲۱ (۵۹): ۱-۲۱.
- بابائیان، ایمان. (۱۳۹۱). *سناریوهای جدید انتشار-RCP*. تاریخ استخراج: ۱۳۹۶/۹/۲. (<http://climate.mihanblog.com/post/4>)
- خلیلی، علی. (۱۳۷۹)، *تحلیل سه بعدی درجه - روزهای گرمایش و سرمایش در ایران*، مجله تحقیقات جغرافیایی، ۵۴ و ۵۵: ۷-۱۸.
- خلیلی، علی. (۱۳۸۳)، *تدوین یک سامانه ی جدید پهنه بندی اقلیمی، از دیدگاه نیازهای گرمایش و سرمایش در ایران*، فصلنامه ی تحقیقات کاربردی علوم جغرافیایی، ۱۲ (۳۲): ۲۵-۳۹.
- ذوالفقاری، حسن، هاشمی، رضا و رادمهر، پریش. (۱۳۸۸)، *تحلیلی بر نیازهای سرمایشی و گرمایشی در شمال غرب ایران*، مجله پژوهش های جغرافیای طبیعی، ۷۰: ۳۴-۲۱.
- رمضانی، بهمن و زهرا کاظم نژاد. (۱۳۹۳)، *واکاوی و اقلیم بندی مجموع میانگین نیاز (گرمایش و سرمایش) در قلمرو گیلان با تأکید بر مصرف گاز طبیعی خانوار*، چشم انداز جغرافیایی در مطالعات انسانی، ۹ (۲۵): ۱-۱۶.
- مسعودیان، ابوالفضل، ابراهیمی، رضا، الهام، یاراحمدی، (۱۳۹۳)، *واکاوی مکانی-زمانی میزان روند ماهانه درجه روز گرمایش در قلمرو ایران زمین*. جغرافیا و توسعه ناحیه ای، ۱۲ (۲۳): ۱۲-۲۸.

وجدانی، حمید رضا. (۱۳۸۷). رگرسیون چندگانه، کاربرد آمار در جغرافیای انسانی. تاریخ استخراج: ۱۳۹۶/۱۱/۵

Artmann, N., Gyalistras, D., Manz1, H., & Heiselberg, P. (2008). **Impact of climate warming on passive night cooling potential**. Building Research & Information, **36** (2), 111–128.

Bonsal, B. R. Zhang, X. Vincent, I. A and hogg, W. D. (2001), **Characteristics of Daily and Extreme Temperatures over Canada**. American meteorological Society. 1959-1976.

Crawley, D.B., (1994), **Development of Degree day and Degree Hour for International Location**, D.B. Crawley Consulting, Washington, D.C.

Diaz, R. & Quayle, (1994), **Residential Energy Demand Temperature**, international journal of climatology, **14**, 671-679.

Elizbarashvili, M., Chartolani, G., Khardziani, T. (2018), **Variations and trends of heating and cooling degree-days in Georgia for 1961–1990 year period**. Annals of Agrarian Science, **16** (2), 152-159.

Wibing, j., 2002, **Heating and cooling degree Days Variability in LODS in the Period**, 1931-2000, Clim. Res, **20**, 123-130.

Givoni, B., (1963), **Estimation of the Effects of Climate on Man: Development of a New Thermal Index**, RS. Rept, to UNESCO, Building research station, Haifa, Israel.

Hitchin ER. (1981). **Degree-days in Britain**. Build Serv Eng Res Technol **2**:73–82.

Hitchin ER. (1990). **Developments in degree-day methods of estimating energy use**. Build Environ. **25**:1–6.

Kadioglu, M., Z. S°en, L. ultekin, (1999), **Spatial Heating Monthly Degree-Days Features and Climatologic Theor**. Appl. Climatol: **64**, 263- 269.

Li. Chean, Fang .XiuQi, LI. Shuai,(2007): **Impacts of climate warming on heating energy consumption and southern boundaries of severe cold and cold regions in China**, Springer: 2854-2858.

Oktay, Z., Coskun, C., & Dincer, I. (2011). **A new approach for predicting cooling degreehours and energy requirements in buildings**. Energy, **36**(8), 4855-4863.

Rahman SH., Al-Hadhrami L. M. & Shamsuddin Khan, (2010), **Annual and Seasonal Trends of Cooling, Heating, and Industrial Degree-days in Coastal Regions of Saudi Arabia**, Journal of Theoretical and Applied Climatology, 104, 479-488 .

Rimante, Cox., Martin, D., Carsten, R & Susanne, B (2015). **Simple future weather files for estimating heating and cooling demand Building and Environment**. **83**: 104-114.

Said, SAM, (1992), **Degree Day bas Temperature for Residential Building Energy Prediction in Saudi Arabia**, ASHRA Transaction, **98** (1), 53-346.

Soule, PT and Suckling PW, (1995), **Variation in Heating and Cooling Degree Day in the South- Eastern USA, (1960-1989)**, International Journal of Climatology, **15** (4), 355-367.

Thom HCS. (1952). **Seasonal degree-day statistics for the United States**. Mon Weather Rev. **80** (9):143–7.